

DEK-0SR-1.6222371.2024

Warszawa, dn. 2024-11-12

T-Mobile Polska S.A.
ul. Marynarska 12
02-674 Warszawa

Pełnomocnik: I
Pełnomocnictwo numer: 162/01/21
z dnia: 2021-01-13

dane do korespondencji:

NetWorks Sp. z o.o.
ul. Abpa Baraniaka 6
61-131 Poznań
tel.

Prezydent Miasta Łodzi
Urząd Miasta Łodzi
ul. Piłsudskiego 100
90-926 Łódź

Dotyczy: ustawowego obowiązku, wynikającego z art. 152 ust. 1 i ust. 7 w związku z ust. 6 pkt 1c ustawy z dnia 27 kwietnia 2001r – Prawo ochrony środowiska (Dz.U. 2024 poz. 54).

Działając z upoważnienia T-Mobile Polska S.A. z siedzibą ul. Marynarska 12, 02-674 Warszawa, **informuję o zmianie danych w zakresie wielkości i rodzaju emisji** dla instalacji radiokomunikacyjnej **29711 (90009N!) WLD_LODZ_LISCIAST17** zlokalizowanej w miejscowości ŁÓDŹ, ul. LIŚCIASTA 17. W stosunku do informacji zawartej zgłoszeniu realizowanym dla tej instalacji w trybie art. 152 ust. 1 i 5 ustawy z dnia 27 kwietnia 2001r – Prawo ochrony środowiska (Dz.U. 2024 poz. 54), dane ulegają zmianie w następujący sposób:

9. Wielkość i rodzaj emisji²⁾:

Pole elektromagnetyczne. EIRP poszczególnych anten zostało podane w pkt 12, tj.

Lp.	Równoważna moc promieniowana izotropowo (EIRP) [W]
1.	19434
2.	57020
3.	19434
4.	57020
5.	19434
6.	57020
7.	6310
8.	4

12. Szczegółowe dane, odpowiednio do rodzaju instalacji, zgodne z wymaganiami określonymi w załączniku nr 2 do Rozporządzenia:

Lp.	1)	2)	3)	4)	5)	
	Współrzędne geograficzne	Częstotliwość lub zakresy częstotliwości pracy instalacji [MHz]	Wysokość środka elektrycznego anteny [m n.p.t]	Równoważna moc promieniowana izotropowo (EIRP) [W]	Azymut [°]	Kąt pochylenia lub zakresy kątów pochylenia [°]
1.	19°25'47.9" 51°48'40.3"	900/1800/ 2100/2600	24.7	19434	70	2-12/2-12/ 2-12/2-12
2.	19°25'47.9" 51°48'40.3"	3600	24.7	57020	70	0-12
3.	19°25'47.8" 51°48'40.2"	900/1800/ 2100/2600	25.4	19434	190	2-12/2-12/ 2-12/2-12
4.	19°25'47.8" 51°48'40.3"	3600	25.4	57020	190	0-12
5.	19°25'47.7" 51°48'40.3"	900/1800/ 2100/2600	24.7	19434	320	2-12/2-12/ 2-12/2-12
6.	19°25'47.8" 51°48'40.4"	3600	24.7	57020	320	0-12
7.	19°25'47.7" 51°48'40.3"	80000	23.5	6310	223*	nd.
8.	19°25'47.8" 51°48'40.2"	38000	23	4	224*	nd.

*) tolerancja azymutu od -10° do + 10°.

Informuję, iż dokonane zmiany w zakresie wielkości i rodzaju emisji przedmiotowej instalacji nie powodują zmiany instalacji w sposób istotny zgodnie z art. 3 pkt 7 ustawy Poś.

W załączniku przesyłam:

1. Pełnomocnictwo
2. Kopia potwierdzenia wniesienia opłaty skarbowej.
3. Sprawozdanie z pomiarów pól elektromagnetycznych wykonanych dla celów ochrony środowiska.

Otrzymują:

1. a/a
2. adresat



Signed by /
Podpisano przez:

Date / Data: 2024-
11-12 18:17



NetWorks Sp. z o.o.
Laboratorium Badań Środowiskowych
ul. Józefa Piłsudskiego 3
00-728 Warszawa
e-mail: Laboratorium@networks.pl



AB 419

S P R A W O Z D A N I E 9200/2024/OS
Z POMIARÓW PÓL ELEKTROMAGNETYCZNYCH
WYKONANYCH DLA POTRZEB OCHRONY ŚRODOWISKA

Badany obiekt: Instalacja radiokomunikacyjna T-Mobile Polska S.A.
Numer i nazwa: 29711 (90009N!) WLD_LODZ_LISCIAST17
Adres: ŁÓDŹ, LIŚCIASTA 17, Powiat m. Łódź, WOJ. ŁÓDZKIE

Data wykonania pomiarów: 2024-10-30

Sprawozdanie z badań bez pisemnej zgody laboratorium nie może być powielane inaczej niż w całości.
Wynik przedstawione w niniejszym sprawozdaniu odnoszą się wyłącznie do badanego obiektu i do warunków i konfiguracji urządzeń w dniu wykonywania pomiarów.

1. Właściciel badanego obiektu:

T-Mobile Polska S.A., ul. Marynarska 12, 02-674 Warszawa

2. Zleceniodawca:

T-Mobile Polska S.A., ul. Marynarska 12, 02-674 Warszawa

3. Przedstawiciel zleceniodawcy:

NetWorks Sp. z o.o.

4. Zakres zlecenia:

Wykonanie badania i opracowanie sprawozdania z pomiarów natężenia pola elektrycznego i pola magnetycznego dla instalacji radiokomunikacyjnej T-Mobile Polska S.A. zlokalizowanej w miejscowości ŁÓDŹ, LIŚCIASTA 17.

5. Cel zlecenia:

Wykonanie pomiarów pól elektromagnetycznych w otoczeniu instalacji radiokomunikacyjnej 29711 (90009N!) WLD_LODZ_LISCIAST17 w odniesieniu do wymagań określonych w *Rozporządzeniu Ministra Klimatu z dnia 17 lutego 2020 r. w sprawie sposobów sprawdzania dotrzymania dopuszczalnych poziomów pól elektromagnetycznych w środowisku (Dz.U. 2022 poz. 2630)*.

6. Pomiary zostały wykonane przez:

7. Informacje o źródłach pól elektromagnetycznych

7.1. Sposób identyfikacji badanych źródeł pól elektromagnetycznych

Identyfikacji źródeł i parametrów technicznych dokonano na podstawie analizy dokumentacji dotyczącej zlecenia oraz obserwacji miejsca wykonywania badań.

7.2. Opis miejsca zainstalowania anten i urządzeń technicznych. Opis obiektu badań i jego otoczenia

Instalacja radiokomunikacyjna zlokalizowana jest na dachu. Anteny zawieszono na masztach usytuowanych na dachu budynku. Urządzenia sterujące oraz zasilające zainstalowano w szafie outdoor na dachu budynku. Wokół instalacji znajdują się tereny przemysłowe.

Instalacja radiokomunikacyjna jest obiektem bezobsługowym. Okresowe stanowiska pracy związane są z prowadzonymi w zależności od potrzeb konserwacjami, przeglądami, strojeniem i naprawami.

Sprawozdanie z badań bez pisemnej zgody laboratorium nie może być powielane inaczej niż w całości.
Wynik przedstawione w niniejszym sprawozdaniu odnoszą się wyłącznie do badanego obiektu i do warunków i konfiguracji urządzeń w dniu wykonywania pomiarów.

7.3. Parametry techniczne źródła pola elektromagnetycznego

Dane przedstawiające maksymalne parametry pracy instalacji przekazane przez zleceniodawcę:

Parametry systemu nadawczo-odbiorczego:

Charakterystyka promieniowania		kierunkowa					
Rzeczywisty czas pracy [h/dobę]		24					
Warunki pracy		znamionowe					
Rodzaj wytwarzanego pola		stacjonarne					
Lp.	Częstotliwość lub zakresy częstotliwości pracy [MHz]	Typ/producent anteny	liczba anten	Azymut [°]	kąt pochylecia [°]	Wysokość środka elektrycznego anteny [m n.p.t.]	Równoważna moc promieniowana izotropowo (EIRP) [W]
1	900/1800/2100/2600	RRV4-65A-R6-V2 CommScope	1	70	2-12**/2-12**/2-12**/2-12**	24.7	19434
2	3600	AAU5339W Huawei	1	70	0-12**	24.7	57020
3	900/1800/2100/2600	RRV4-65A-R6-V2 CommScope	1	190	2-12**/2-12**/2-12**/2-12**	25.4	19434
4	3600	AAU5339W Huawei	1	190	0-12**	25.4	57020
5	900/1800/2100/2600	RRV4-65A-R6-V2 CommScope	1	320	2-12**/2-12**/2-12**/2-12**	24.7	19434
6	3600	AAU5339W Huawei	1	320	0-12**	24.7	57020

* wskazane wartości kąta pochylecia anten, zgodnie z informacją uzyskaną od zleceniodawcy, są wartościami stałymi

** pomiary wykonano zgodnie z pkt 13., ppkt 2 załącznika do Rozporządzenia Ministra Klimatu z dnia 17 lutego 2020 r. (Dz. U. 2022, poz. 2630).

Parametry radiolinii:

Charakterystyka promieniowania		kierunkowa					
Rzeczywisty czas pracy [h/dobę]		24					
Warunki pracy		znamionowe					
Rodzaj wytwarzanego pola		stacjonarne					
Lp.	Linia radiowa			Antena			
	Typ/ Producent	Częstotliwość pracy [GHz]	Równoważna moc promieniowana izotropowo (EIRP) [W]	Typ/ producent	Średnica anteny [m]	Azymut [°]	Wysokość zainstalowania n.p.t [m]
1.	NP ERICSSON ML 6352 70/80GHz 250MHz Ericsson	80	6310	ANT_0.3 80 HP Ericsson	0.3	223	23.5
2.	NEC iPasolink 100E Harris Stratex	38	4	VHLP1-38 Andrew	0.3	224	23

7.4 Inne źródła pól elektromagnetycznych

Na podstawie informacji otrzymanych od użytkownika oraz obserwacji otoczenia miejsca wykonywania pomiarów nie stwierdzono występowania innych źródeł pola-EM

8. Opis pomiarów

8.1. Metoda badań

Zgodna z rozporządzeniem Ministra Klimatu z dnia 17 lutego 2020 r. w sprawie sposobów sprawdzania dotrzymania dopuszczalnych poziomów pól elektromagnetycznych w środowisku (Dz.U. 2022 poz. 2630), określona w pkt 25 ppkt 1 załącznika do niniejszego rozporządzenia.

Sprawozdanie z badań bez pisemnej zgody laboratorium nie może być powielane inaczej niż w całości. Wynik przedstawione w niniejszym sprawozdaniu odnoszą się wyłącznie do badanego obiektu i do warunków i konfiguracji urządzeń w dniu wykonywania pomiarów.

8.2. Termin pomiarów i warunki środowiskowe

Podczas wykonywania pomiarów pól elektromagnetycznych nie występowały opady atmosferyczne. Wyniki pomiaru parametrów pogodowych przedstawia poniższa tabela:

Data [rrrr-mm-dd]	Godzina [hh:mm-hh:mm]	Warunki środowiskowe			
		Temperatura [°C]		Wilgotność względna [%]	
		Przed pomiarem	Po pomiarach	Przed pomiarem	Po pomiarach
2024-10-30	08:40-10:00	12.0	13.0	68.7	67.8

Przedstawione wyżej warunki środowiskowe, występujące podczas wykonywania pomiarów pól elektromagnetycznych, są zgodne ze specyfikacją techniczną użytego zestawu pomiarowego.

8.3. Warunki pracy urządzeń nadawczych

Podczas pomiarów w przypadku uzyskania wyniku pomiaru szerokopasmowego wykonanego zastosowaną metodą, dla zakresów częstotliwości od 10 MHz do 300 GHz, powiększonego o rozszerzoną niepewność pomiaru U dla współczynnika rozszerzenia $k = 2$ przekraczającego 70% najniższej dopuszczalnej wartości składowej elektrycznej lub magnetycznej pola dla objętych pomiarami zakresów częstotliwości, uwzględnia się poprawki pomiarowe przekazane przez zleceniodawcę, umożliwiające uwzględnienie maksymalnych parametrów pracy instalacji zgodnie z pkt 7 załącznika do Rozporządzeniem Ministra Klimatu z dnia 17 lutego 2020 r. w sprawie sposobów sprawdzania dotrzymania dopuszczalnych poziomów pól elektromagnetycznych w środowisku (Dz. U. 2022, poz. 2630) zaznaczając, że wymagane jest wykonanie pomiaru z wykorzystaniem miernika selektywnego. W przypadku uzyskania wyniku pomiaru szerokopasmowego wykonanego zastosowaną metodą, dla zakresów częstotliwości od 10 MHz do 300 GHz, powiększonego o rozszerzoną niepewność pomiaru U dla współczynnika rozszerzenia $k = 2$ nieprzekraczającego 70% najniższej dopuszczalnej wartości składowej elektrycznej lub magnetycznej pola dla objętych pomiarami zakresów częstotliwości, nie uwzględnia się poprawek pomiarowych.

8.4. Wyposażenie pomiarowe

Zestaw pomiarowy służący do pomiaru natężenia składowej elektrycznej pola elektromagnetycznego złożony z szerokopasmowego miernika i sondy pomiarowej:

Oznaczenie miernika	Producent	Model	Numer fabryczny	Oznaczenie sondy	Producent	Model	Numer fabryczny
MF-03	Narda Safety Test Solution	Miernik pól elektromagnetycznych Narda FieldMan	B-0121	SF-05	Narda Safety Test Solution	Sonda EFD-6091	A-0074

Mierniki natężenia pola elektromagnetycznego podlegają okresowemu sprawdzeniu zgodnie z procedurą wewnętrzną P-03 i PB-01. Świadectwo wzorcowania zestawu pomiarowego z dnia 6 grudnia 2023 o numerze LWIMP/W/464/23 wydane przez Politechnika Wrocławską.

Data ważności świadectwa wzorcowania: 6 grudnia 2025 (zgodnie z procedurą wewnętrzną P-03).

Oznaczenie miernika	Producent	Model	Numer fabryczny	Oznaczenie sondy	Producent	Model	Numer fabryczny
MF-03	Narda Safety Test Solution	Miernik pól elektromagnetycznych Narda FieldMan	B-0121	SF-06	Narda Safety Test Solution	Sonda EFD-0691	A-0149

Mierniki natężenia pola elektromagnetycznego podlegają okresowemu sprawdzeniu zgodnie z procedurą wewnętrzną P-03 i PB-01. Świadectwo wzorcowania zestawu pomiarowego z dnia 6 grudnia 2023 o numerze LWIMP/W/464/23 wydane przez Politechnika Wrocławską.

Data ważności świadectwa wzorcowania: 6 grudnia 2025 (zgodnie z procedurą wewnętrzną P-03).

Termohigrometr:

Oznaczenie:	TH-28	Producent:	AZ INSTRUMENT CORP	Model:	Termohigrometr AZ8706
-------------	-------	------------	--------------------	--------	-----------------------

Data ważności świadectwa wzorcowania: 19 października 2025 (zgodnie z procedurą wewnętrzną P-03).

Sprawozdanie z badań bez pisemnej zgody laboratorium nie może być powielane inaczej niż w całości.
Wynik przedstawione w niniejszym sprawozdaniu odnoszą się wyłącznie do badanego obiektu i do warunków i konfiguracji urządzeń w dniu wykonywania pomiarów.

Dalmierz:

Oznaczenie	Producent	Typ	Numer seryjny	Nr świadectwa wzorcowania	Data świadectwa wzorcowania
D-07	Leica	Dalmierz Leica Disto X310	843810759	1146.4-M11-4180-396/15	8 kwietnia 2015

Data ważności świadectwa wzorcowania: 8 kwietnia 2025 (zgodnie z procedurą wewnętrzną P-03).

Odbiornik GNSS:

Odbiornik GNSS wbudowany w miernik natężenia pola elektromagnetycznego użyty podczas pomiarów	Producent	Model
	UBlox	NEO-M8T

Odbiorniki podlegają okresowemu sprawdzeniu zgodnie z procedurą wewnętrzną P-03.

9. Wyniki pomiarów

Pole elektryczne

Nr pionu	Opis umiejscowienia pionu (punktu) pomiarowego	Wysokość pomiaru [m]	Zmierzona wartość natężenia pola elektrycznego E [V/m] ^{1,5}			Wartość natężenia pola elektrycznego powiększona o niepewność pomiaru * E [V/m]	Wskaźnikowa wartość poziomu emisji pól elektromagnetycznych WMe ³	Współrzędne geograficzne pionu (punktu) pomiarowego ²
			Sonda SF-05	Sonda SF-06	Wartość			
1	GKP w odległości 8m od anteny sektorowej az. 70°	2.0	1.0	1.0	1.0	1.4	0.05	51°48'40.3" 19°25'48.4"
2	GKP w odległości 54m od anteny sektorowej az. 70°	0.3-2.0	<1.0*	<1.0*	<1.0*	1.4	0.05	51°48'41.0" 19°25'50.5"
3	GKP w odległości 110m od anteny sektorowej az. 70°	0.3-2.0	<1.0*	<1.0*	<1.0*	1.4	0.05	51°48'41.4" 19°25'53.4"
4	GKP w odległości 2m od anteny sektorowej az. 190°	0.3-2.0	<1.0*	<1.0*	<1.0*	1.4	0.05	51°48'40.3" 19°25'47.6"
5	GKP w odległości 98m od anteny sektorowej az. 190°	0.3-2.0	<1.0*	<1.0*	<1.0*	1.4	0.05	51°48'37.1" 19°25'46.9"
6	GKP w odległości 4m od anteny radioliniowej az. 224°	0.3-2.0	<1.0*	<1.0*	<1.0*	1.4	0.05	51°48'40.3" 19°25'47.6"
7	GKP w odległości 51m od anteny radioliniowej az. 224°	0.3-2.0	<1.0*	<1.0*	<1.0*	1.4	0.05	51°48'38.9" 19°25'45.8"
8	GKP w odległości 3m od anteny radioliniowej az. 223°	0.3-2.0	<1.0*	<1.0*	<1.0*	1.4	0.05	51°48'40.3" 19°25'47.6"
9	GKP w odległości 44m od anteny radioliniowej az. 223°	0.3-2.0	<1.0*	<1.0*	<1.0*	1.4	0.05	51°48'39.2" 19°25'46.2"
10	GKP w odległości 5m od anteny sektorowej az. 320°	0.3-2.0	<1.0*	<1.0*	<1.0*	1.4	0.05	51°48'40.3" 19°25'47.6"
11	GKP w odległości 50m od anteny sektorowej az. 320°	0.3-2.0	<1.0*	<1.0*	<1.0*	1.4	0.05	51°48'41.8" 19°25'46.2"
12	GKP w odległości 107m od anteny	2.0	1.4	1.4	1.4	1.9	0.07	51°48'42.8" 19°25'44.0"

Sprawozdanie z badań bez pisemnej zgody laboratorium nie może być powielane inaczej niż w całości.
 Wynik przedstawione w niniejszym sprawozdaniu odnosi się wyłącznie do badanego obiektu i do warunków i konfiguracji urządzeń w dniu wykonywania pomiarów.

	sektorowej az. 320°							
13	PKP na az. 144° w odległości 49m od anteny sektorowej az. 190°	0.3-2.0	<1.0*	<1.0*	<1.0*	1.4	0.05	51°48'38.9" 19°25'49.4"
14	PKP na az. 116° w odległości 42m od anteny sektorowej az. 70°	0.3-2.0	<1.0*	<1.0*	<1.0*	1.4	0.05	51°48'39.6" 19°25'49.8"
15	PKP na az. 100° w odległości 28m od anteny sektorowej az. 70°	0.3-2.0	<1.0*	<1.0*	<1.0*	1.4	0.05	51°48'40.3" 19°25'49.4"
16	PKP na az. 85° w odległości 50m od anteny sektorowej az. 70°	0.3-2.0	<1.0*	<1.0*	<1.0*	1.4	0.05	51°48'40.3" 19°25'50.5"
17	PKP na az. 55° w odległości 54m od anteny sektorowej az. 70°	0.3-2.0	<1.0*	<1.0*	<1.0*	1.4	0.05	51°48'41.4" 19°25'50.2"
18	PKP na az. 40° w odległości 53m od anteny sektorowej az. 70°	0.3-2.0	<1.0*	<1.0*	<1.0*	1.4	0.05	51°48'41.8" 19°25'49.8"
19	PKP na az. 24° w odległości 57m od anteny sektorowej az. 70°	0.3-2.0	<1.0*	<1.0*	<1.0*	1.4	0.05	51°48'42.1" 19°25'49.1"
20	PKP na az. 6° w odległości 53m od anteny sektorowej az. 320°	0.3-2.0	<1.0*	<1.0*	<1.0*	1.4	0.05	51°48'42.1" 19°25'48.0"
21	PKP na az. 350° w odległości 52m od anteny sektorowej az. 320°	0.3-2.0	<1.0*	<1.0*	<1.0*	1.4	0.05	51°48'42.1" 19°25'47.3"
22	PKP na az. 335° w odległości 53m od anteny sektorowej az. 320°	0.3-2.0	<1.0*	<1.0*	<1.0*	1.4	0.05	51°48'41.8" 19°25'46.6"
23	PKP na az. 305° w odległości 52m od anteny sektorowej az. 320°	0.3-2.0	<1.0*	<1.0*	<1.0*	1.4	0.05	51°48'41.4" 19°25'45.5"
24	PKP na az. 290° w odległości 51m od anteny sektorowej az. 320°	2.0	1.2	1.2	1.2	1.6	0.06	51°48'41.0" 19°25'45.1"
25	PKP na az. 274° w odległości 53m od anteny sektorowej az. 320°	0.3-2.0	<1.0*	<1.0*	<1.0*	1.4	0.05	51°48'40.3" 19°25'45.1"
26	PKP na az. 236° w odległości 42m od anteny sektorowej az. 190°	0.3-2.0	<1.0*	<1.0*	<1.0*	1.4	0.05	51°48'39.6" 19°25'45.8"
27	PKP na az. 220° w odległości 44m od anteny sektorowej az. 190°	0.3-2.0	<1.0*	<1.0*	<1.0*	1.4	0.05	51°48'39.2" 19°25'46.2"

Sprawozdanie z badań bez pisemnej zgody laboratorium nie może być powielane inaczej niż w całości.
 Wynik przedstawione w niniejszym sprawozdaniu odnoszą się wyłącznie do badanego obiektu i do warunków i konfiguracji urządzeń w dniu wykonywania pomiarów.

-	GKP w odległości 290m od anteny sektorowej az. 190°	0.3-2.0	<1.0*	<1.0*	<1.0*	1.4	0.05	51°48'31.0" 19°25'45.1"
-	GKP w odległości 200m od anteny sektorowej az. 70°	0.3-2.0	<1.0*	<1.0*	<1.0*	1.4	0.05	51°48'42.5" 19°25'57.7"
-	GKP w odległości 203m od anteny sektorowej az. 320°	0.3-2.0	<1.0*	<1.0*	<1.0*	1.4	0.05	51°48'45.4" 19°25'40.8"

Pole magnetyczne (wyznaczone na podstawie pomiaru wartości natężenia pola elektrycznego)

Nr pionu	Opis umiejscowienia pionu (punktu) pomiarowego	Wysokość pomiaru [m]	Wartość natężenia pola magnetycznego H [A/m] ¹			Wartość natężenia pola magnetycznego powiększona o niepewność pomiaru ⁴ H [A/m]	Wskaźnikowa wartość poziomu emisji pól elektromagnetycznych WMH ⁵	Współrzędne geograficzne pionu (punktu) pomiarowego ²
			Sonda SF-05	Sonda SF-06	Wartość			
1	GKP w odległości 8m od anteny sektorowej az. 70°	2.0	0.003	0.003	0.003	0.004	0.05	51°48'40.3" 19°25'48.4"
2	GKP w odległości 54m od anteny sektorowej az. 70°	0.3-2.0	<0.003*	<0.003*	<0.003*	0.004	0.05	51°48'41.0" 19°25'50.5"
3	GKP w odległości 110m od anteny sektorowej az. 70°	0.3-2.0	<0.003*	<0.003*	<0.003*	0.004	0.05	51°48'41.4" 19°25'53.4"
4	GKP w odległości 2m od anteny sektorowej az. 190°	0.3-2.0	<0.003*	<0.003*	<0.003*	0.004	0.05	51°48'40.3" 19°25'47.6"
5	GKP w odległości 98m od anteny sektorowej az. 190°	0.3-2.0	<0.003*	<0.003*	<0.003*	0.004	0.05	51°48'37.1" 19°25'46.9"
6	GKP w odległości 4m od anteny radioliniowej az. 224°	0.3-2.0	<0.003*	<0.003*	<0.003*	0.004	0.05	51°48'40.3" 19°25'47.6"
7	GKP w odległości 51m od anteny radioliniowej az. 224°	0.3-2.0	<0.003*	<0.003*	<0.003*	0.004	0.05	51°48'38.9" 19°25'45.8"
8	GKP w odległości 3m od anteny radioliniowej az. 223°	0.3-2.0	<0.003*	<0.003*	<0.003*	0.004	0.05	51°48'40.3" 19°25'47.6"
9	GKP w odległości 44m od anteny radioliniowej az. 223°	0.3-2.0	<0.003*	<0.003*	<0.003*	0.004	0.05	51°48'39.2" 19°25'46.2"
10	GKP w odległości 5m od anteny sektorowej az. 320°	0.3-2.0	<0.003*	<0.003*	<0.003*	0.004	0.05	51°48'40.3" 19°25'47.6"
11	GKP w odległości 50m od anteny sektorowej az. 320°	0.3-2.0	<0.003*	<0.003*	<0.003*	0.004	0.05	51°48'41.8" 19°25'46.2"
12	GKP w odległości 107m od anteny sektorowej az. 320°	2.0	0.004	0.004	0.004	0.005	0.07	51°48'42.8" 19°25'44.0"
13	PKP na az. 144° w odległości 49m od anteny sektorowej az. 190°	0.3-2.0	<0.003*	<0.003*	<0.003*	0.004	0.05	51°48'38.9" 19°25'49.4"

Sprawozdanie z badań bez pisemnej zgody laboratorium nie może być powielane inaczej niż w całości.
 Wynik przedstawione w niniejszym sprawozdaniu odnoszą się wyłącznie do badanego obiektu i do warunków i konfiguracji urządzeń w dniu wykonywania pomiarów.

14	PKP na az. 116° w odległości 42m od anteny sektorowej az. 70°	0.3-2.0	<0.003*	<0.003*	<0.003*	0.004	0.05	51°48'39.6" 19°25'49.8"
15	PKP na az. 100° w odległości 28m od anteny sektorowej az. 70°	0.3-2.0	<0.003*	<0.003*	<0.003*	0.004	0.05	51°48'40.3" 19°25'49.4"
16	PKP na az. 85° w odległości 50m od anteny sektorowej az. 70°	0.3-2.0	<0.003*	<0.003*	<0.003*	0.004	0.05	51°48'40.3" 19°25'50.5"
17	PKP na az. 55° w odległości 54m od anteny sektorowej az. 70°	0.3-2.0	<0.003*	<0.003*	<0.003*	0.004	0.05	51°48'41.4" 19°25'50.2"
18	PKP na az. 40° w odległości 53m od anteny sektorowej az. 70°	0.3-2.0	<0.003*	<0.003*	<0.003*	0.004	0.05	51°48'41.8" 19°25'49.8"
19	PKP na az. 24° w odległości 57m od anteny sektorowej az. 70°	0.3-2.0	<0.003*	<0.003*	<0.003*	0.004	0.05	51°48'42.1" 19°25'49.1"
20	PKP na az. 6° w odległości 53m od anteny sektorowej az. 320°	0.3-2.0	<0.003*	<0.003*	<0.003*	0.004	0.05	51°48'42.1" 19°25'48.0"
21	PKP na az. 350° w odległości 52m od anteny sektorowej az. 320°	0.3-2.0	<0.003*	<0.003*	<0.003*	0.004	0.05	51°48'42.1" 19°25'47.3"
22	PKP na az. 335° w odległości 53m od anteny sektorowej az. 320°	0.3-2.0	<0.003*	<0.003*	<0.003*	0.004	0.05	51°48'41.8" 19°25'46.6"
23	PKP na az. 305° w odległości 52m od anteny sektorowej az. 320°	0.3-2.0	<0.003*	<0.003*	<0.003*	0.004	0.05	51°48'41.4" 19°25'45.5"
24	PKP na az. 290° w odległości 51m od anteny sektorowej az. 320°	2.0	0.003	0.003	0.003	0.004	0.06	51°48'41.0" 19°25'45.1"
25	PKP na az. 274° w odległości 53m od anteny sektorowej az. 320°	0.3-2.0	<0.003*	<0.003*	<0.003*	0.004	0.05	51°48'40.3" 19°25'45.1"
26	PKP na az. 236° w odległości 42m od anteny sektorowej az. 190°	0.3-2.0	<0.003*	<0.003*	<0.003*	0.004	0.05	51°48'39.6" 19°25'45.8"
27	PKP na az. 220° w odległości 44m od anteny sektorowej az. 190°	0.3-2.0	<0.003*	<0.003*	<0.003*	0.004	0.05	51°48'39.2" 19°25'46.2"
-	GKP w odległości 290m od anteny sektorowej az. 190°	0.3-2.0	<0.003*	<0.003*	<0.003*	0.004	0.05	51°48'31.0" 19°25'45.1"
-	GKP w odległości 200m od anteny	0.3-2.0	<0.003*	<0.003*	<0.003*	0.004	0.05	51°48'42.5" 19°25'57.7"

Sprawozdanie z badań bez pisemnej zgody laboratorium nie może być powielane inaczej niż w całości.
 Wynik przedstawione w niniejszym sprawozdaniu odnoszą się wyłącznie do badanego obiektu i do warunków i konfiguracji urządzeń w dniu wykonywania pomiarów.

	sektorowej az. 70°							
-	GKP w odległości 203m od anteny sektorowej az. 320°	0.3-2.0	<0.003*	<0.003*	<0.003*	0.004	0.05	51°48'45.4" 19°25'40.8"

GKP – Główny Kierunek Pomiarowy

PKP – Pomocniczy Kierunek Pomiarowy

¹ wyniki oznaczone * są wynikami poniżej czułości zestawu pomiarowego i są wynikami spoza zakresu akredytacji. Do obliczenia wyniku skorygowanego przyjęto wartość skorelowaną z rzeczywistym wynikiem pomiaru - dolną granicę akredytowanego zakresu pomiarowego metody

² współrzędne geograficzne pozyskane metodą pomiaru bezpośredniego

³ do wyznaczenia wartości wskaźnikowej W_{ME} i W_{MH} przyjęto na podstawie uzgodnień z klientem oraz rozpoznania źródeł, jako wartości dopuszczalne pola elektrycznego i magnetycznego odpowiednio 28 V/m i 0,073 A/m.

⁴ do wyznaczenia niepewności dla wyników poniżej czułości zestawu pomiarowego, przyjęto niepewność dla minimalnej wartości z zakresu pomiarowego.

⁵ maksymalna wartość chwilowa

Niepewność oszacowano zgodnie z dokumentem P-03 „Procedura nadzoru nad wyposażeniem” w postaci niepewności rozszerzonej wynikającej z niepewności standardowej pomnożonej przez współczynnik rozszerzenia $k=2$.

Całkowita szacowana niepewność rozszerzona składowej E wynosi odpowiednio:

sonda SF-05: 37.2% dla częstotliwości do 4 GHz, sonda SF-06: 26.9% dla częstotliwości do 4 GHz

Pomiar wykonany metodą 2 sond, opisaną w artykule Medycyna Pracy 2015;66(5):701-712 „Optymalizacja metodyki pomiaru wieloczęstotliwościowego pola elektromagnetycznego stacji bazowych telefonii komórkowej”.

Umiejscowienie pionów (punktów) pomiarowych przedstawiono w załączniku nr 2 do niniejszego sprawozdania.

10. Omówienie wyników pomiarów

W związku z tym, że żadna z wartości zmierzonych, udokumentowanych w tabelach w pkt. 9, uzyskanych w skutek zastosowania pomiaru szerokopasmowego, powiększonego o rozszerzoną niepewność pomiaru U dla współczynnika rozszerzenia $k = 2$ nie przekroczyła 70% najniższej dopuszczalnej wartości składowej elektrycznej lub magnetycznej pola dla objętych pomiarami zakresów częstotliwości, nie uwzględnia się poprawek pomiarowych.

W wyniku zastosowania sposobu sprawdzenia dotrzymania dopuszczalnych poziomów pól elektromagnetycznych w środowisku, zgodnie pkt 25 ppkt 1 Rozporządzenia Ministra Klimatu z dnia 17 lutego 2020 r. (Dz. U. 2022, poz. 2630), w związku z tym, że żadna z wartości wskaźnikowych, udokumentowanych w tabelach w pkt. 9 nie przekracza wartości 1, stwierdza się, że w miejscach, w których wykonano pomiary w otoczeniu instalacji radiokomunikacyjnej 29711 (90009N!) WLD_LODZ_LISCIAS17, dopuszczalne poziomy pól elektromagnetycznych w środowisku należy uznać za dotrzymane.

Miejsca niedostępne podczas wykonywania pomiarów wskazane zostały w pkt. 9 (Wyniki pomiarów) lub na załączniku przedstawiającym usytuowanie pionów pomiarowych.

11. Podstawa prawna

- 1) Ustawa z dnia 27 kwietnia 2001 r. Prawo ochrony środowiska (Dz.U. 2024 poz. 54 z późn. zm.)
- 2) Rozporządzenie Ministra Zdrowia z dnia 17 grudnia 2019 r. w sprawie dopuszczalnych poziomów pól elektromagnetycznych w środowisku (Dz. U. 2019, poz. 2448)
- 3) Rozporządzenie Ministra Klimatu z dnia 17 lutego 2020 r. w sprawie sposobów sprawdzania dotrzymania dopuszczalnych poziomów pól elektromagnetycznych w środowisku (Dz. U. 2022, poz. 2630),
- 4) Akredytacja nr AB 419 wydana przez Polskie Centrum Akredytacji (wydanie 22, z dnia 9 stycznia 2024 r.)

12. Spis załączników

Załącznik 1. Lokalizacja obiektu badań

Załącznik 2. Usytuowanie pionów (punktów) pomiarowych

Załącznik 3. Dokumentacja fotograficzna obiektu badań

Sprawozdanie z badań bez pisemnej zgody laboratorium nie może być powielane inaczej niż w całości.
Wynik przedstawione w niniejszym sprawozdaniu odnoszą się wyłącznie do badanego obiektu i do warunków i konfiguracji urządzeń w dniu wykonywania pomiarów.

13. Data wydania i autoryzowania sprawozdania

Obliczenia i sprawozdanie wykonał :

Elektronika
przez
Data: 2024.11.12
14:50:14 +01'00'

Sprawozdanie autoryzował:

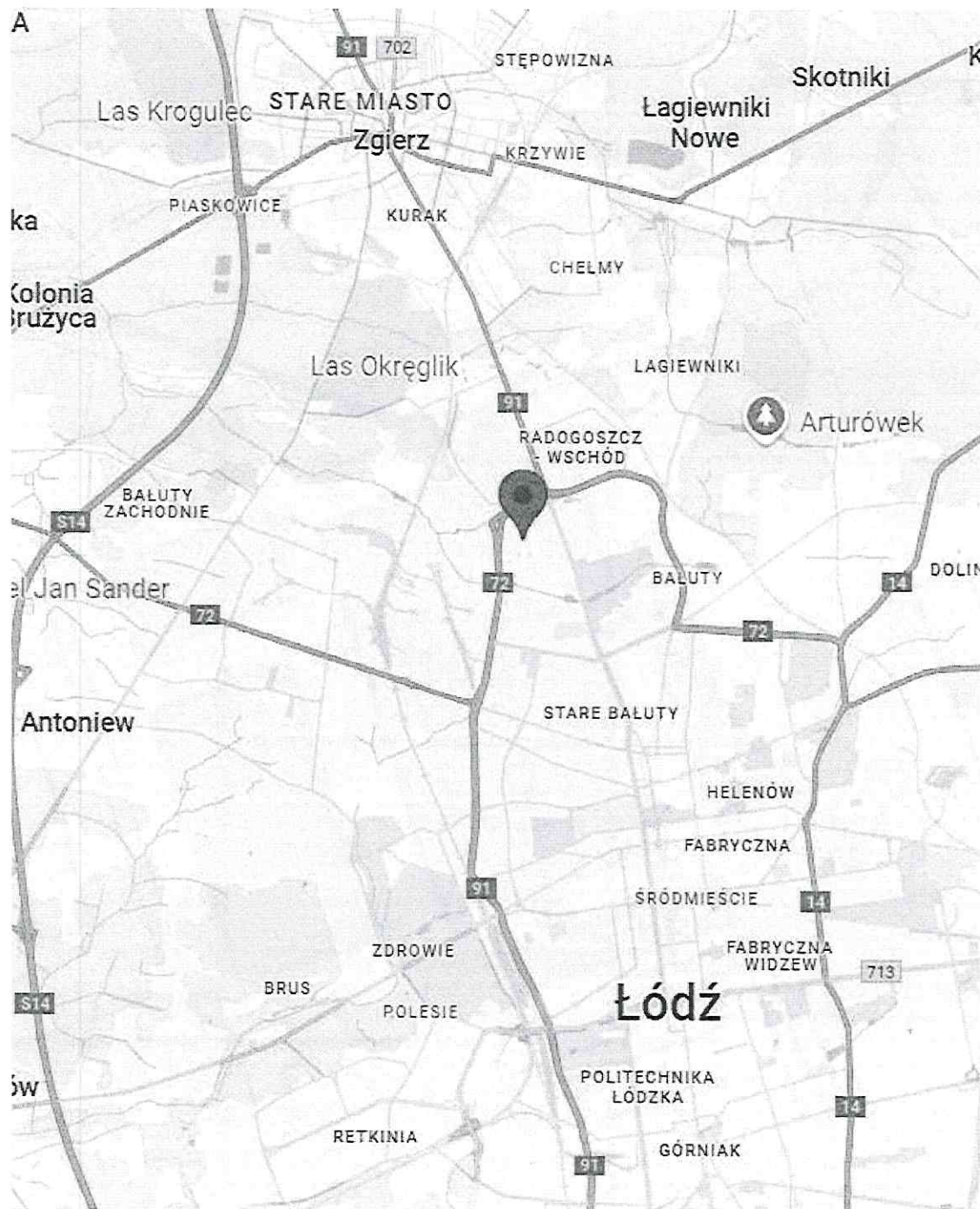


Signed by /
Podpisano przez:

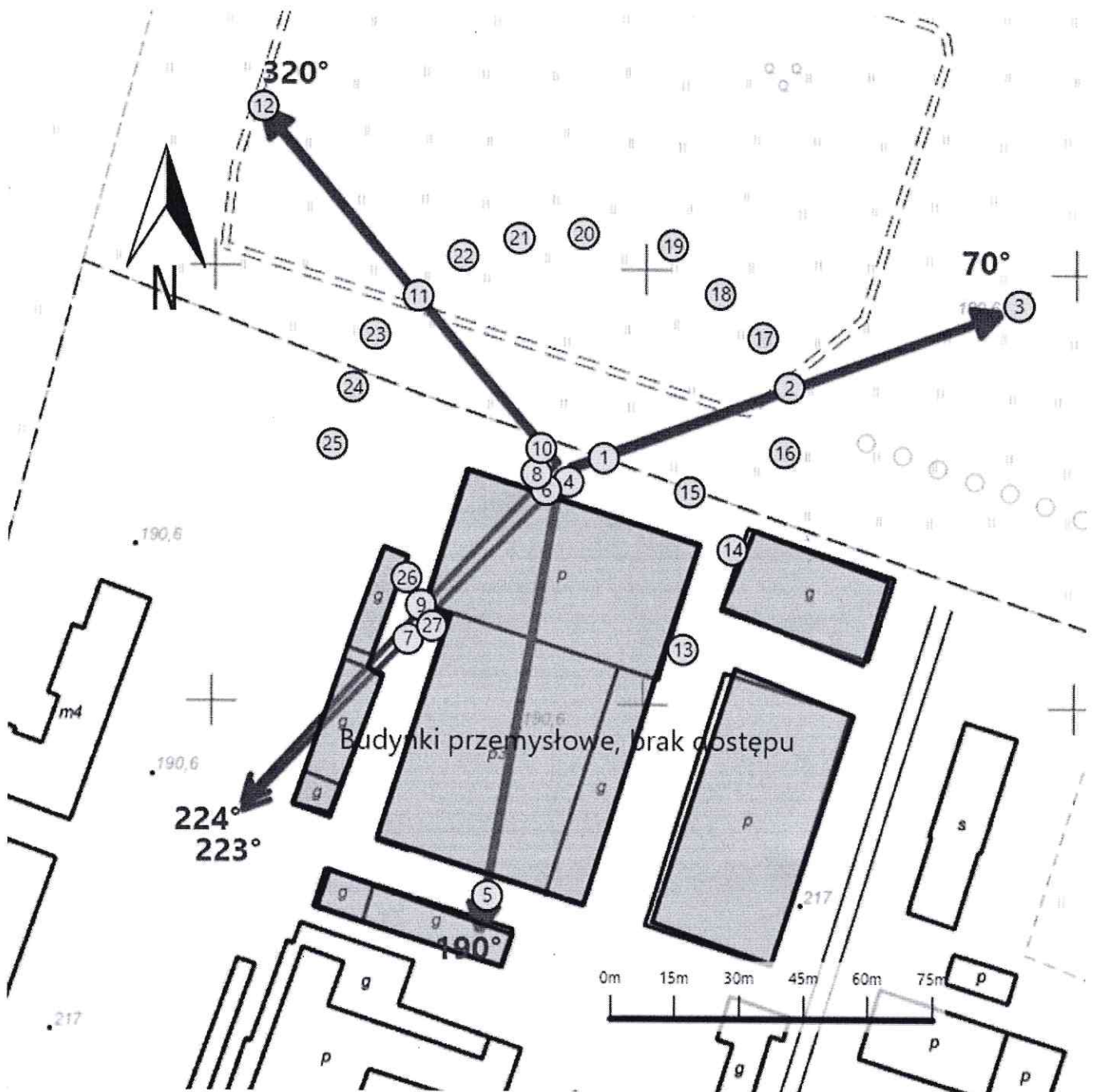
Date / Data:
2024-11-12 14:54





Koniec sprawozdania

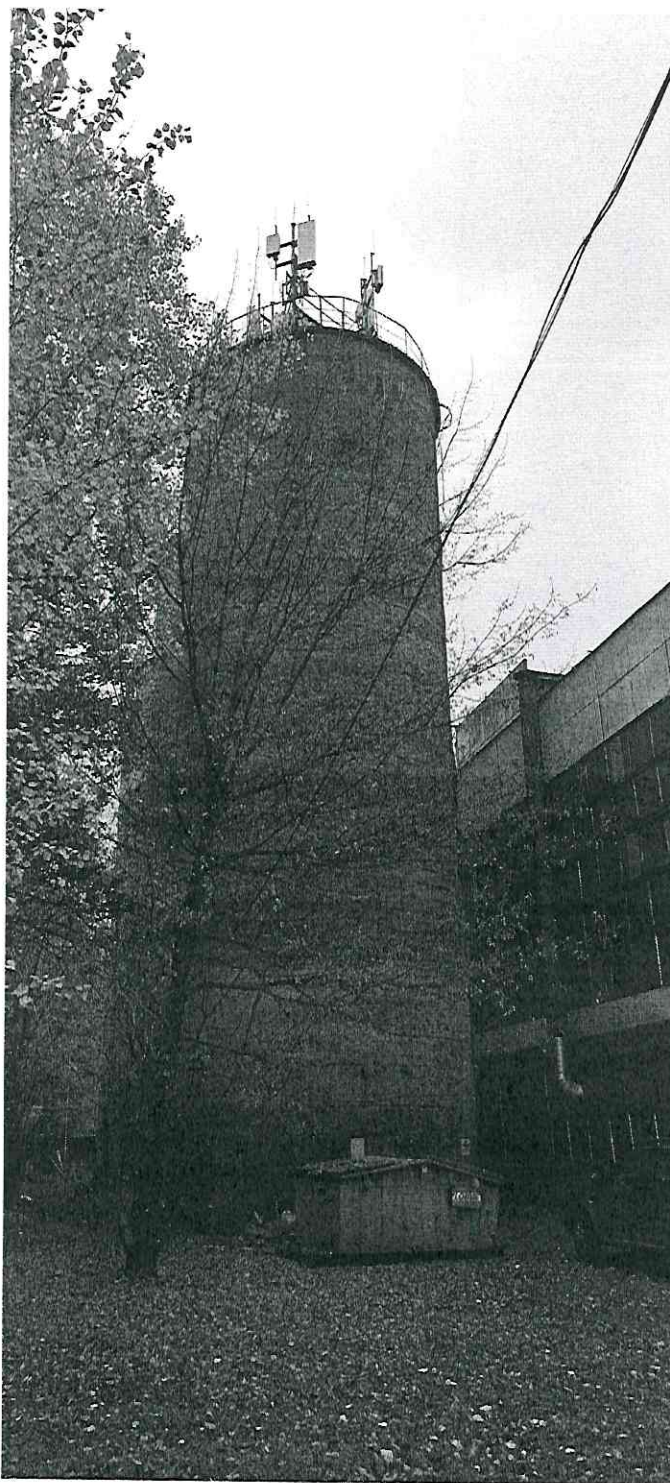
Sprawozdanie z badań bez pisemnej zgody laboratorium nie może być powielane inaczej niż w całości.
Wynik przedstawione w niniejszym sprawozdaniu odnoszą się wyłącznie do badanego obiektu i do warunków i konfiguracji urządzeń w dniu wykonywania pomiarów.



Załącznik nr 1	Instalacja radiokomunikacyjna T-Mobile Polska S.A. 29711 (90009N!) WLD_LODZ_LISCIAS17 Lokalizacja instalacji
----------------	--



Załącznik nr 2	Instalacja radiokomunikacyjna T-Mobile Polska S.A. WLD_LODZ_LISCIAS17 (90009N!) Usytuowanie pionów pomiarowych w otoczeniu instalacji radiokomunikacyjnej
	Legenda: <div style="display: flex; justify-content: space-around; align-items: center;"> <div style="text-align: center;">  Brak dostępu </div> <div style="text-align: center;">  Pion pomiarowy </div> <div style="text-align: center;">  Kierunek oddziaływania anten sektorowych </div> <div style="text-align: center;">  Kierunek oddziaływania anten radioliniowych </div> </div>



Załącznik nr 3

Instalacja radiokomunikacyjna T-Mobile Polska S.A.
29711 (90009N!) WLD_LODZ_LISCIAST17

Dokumentacja fotograficzna